



**B 333
P. 76**

**МАТЕРИАЛЫ
VI РОССИЙСКОГО СЕМИНАРА**

**СОВРЕМЕННЫЕ СРЕДСТВА ДИАГНОСТИКИ
ПЛАЗМЫ И ИХ ПРИМЕНЕНИЕ ДЛЯ
КОНТРОЛЯ ВЕЩЕСТВ И ОКРУЖАЮЩЕЙ СРЕДЫ**

Москва, МИФИ, 22-24 октября 2008 г.

Москва 2008

Из-за малого междуэлектродного расстояния (2 мм) ток насыщения в такой камере достигается при малом напряжении питания 9-10 В. Для испытаний НИК применялось излучение рентгеновской трубы с вольфрамовым анодом. Напряжение на трубке изменялось от 5 до 50 кВ.

Возможность применения НИК на установке ИТЭР определяется ее чувствительностью к гамма излучению. Эта чувствительность была определена на источнике гамма излучения ^{60}Co (энергия квантов 1.173 и 1.332 МэВ). Эти эксперименты показали, что при экранировке НИК со всех не рабочих сторон, эффективность регистрации гамма квантов примерно в 14 раз меньше, чем эффективность регистрации рентгеновских лучей. Известно, что чувствительность ионизационной камеры к гамма излучению определяется, в основном, материалом стенок [3]. Изготовление стенок из легких материалов существенно уменьшает эту чувствительность. В нашем случае чувствительность определяется материалом электродов.

Низкое напряжение питания НИК позволяет применить напряжение, промодулированное по амплитуде [4]. Для компенсации переменного сигнала, проникающего на вход усилителя через емкость НИК была использована мостовая схема.

Описанная схема компенсации наводок была испытана на токамаке Т-10. Расстояние от детектора до измерительного устройства составляло 70 м. Было показано, что применение НИК вместе с предложенной схемой практически полностью устраняет электромагнитные наводки

Выводы

1. Разработана ионизационная камера, работающая при напряжении питания менее 10 В.
2. Низкое напряжение питания НИК позволяет эффективно применить систему подавления наводок и разместить усилитель на расстоянии 70 - 100 м от установки.

Литература:

1. Gott Yu.V., Stepanenko M.M.// Rev. Sci. Instruments. 2005. V. 7. P. 073506.
2. Барыков И.А., Готт Ю.В., Степаненко М.М. // Приборы и техника эксперимента. 2006. № 2. С. 133.
3. Векслер В., Грошев Л., Исаев Б. Ионизационные методы исследования излучений. // Государственное издательство технико-теоретической литературы. Москва-Ленинград. 1949.
4. Чуклаев С.В., Грудский М.Я., Артемьев В.А. Вторично-эмиссионные детекторы ионизирующих излучений. // Энергоатомиздат. Москва. 1995.

СИСТЕМА ТОМСОНОВСКОГО РАССЕЯНИЯ НА

УСТАНОВКЕ ГОЛ-3

М.В. Иванцivский^{1,2}, А.В. Бурдаков^{1,2}, Л.Н. Вячеславов¹, В.В. Поступаев^{1,3}, С.С. Попов^{1,3}, А.Ф. Ровенских¹, А.Д. Хильченко¹

¹ Институт Ядерной физики им. Г.И.Будкера СО РАН

² Новосибирский государственный технический университет

³ Новосибирский государственный университет

Установка ГОЛ-3 (гофрированная открытая ловушка) относится к классу открытых плазменных ловушек с магнитной системой удержания. Нагрев плазмы в установке осуществляется релятивистским электронным пучком (РЭП) имеющим следующие характеристики: энергия ~0.8 МэВ, ток ~30 кА, длительность импульса ~10 мкс, полное энергосодержание ~150 кДж. Этот пучок нагревает дейтериевую плазму с плотностью $\sim 10^{21} \text{ м}^{-3}$ до температуры 2-3 кэВ [1]. Время удержания в этих экспериментах было ~1 мс.

Для определения температуры и плотности электронов плазмы на установке используется система томсоновского рассеяния.

Система томсоновского рассеяния работает на первой гармонике твердотельного Nd-лазера (1054 нм), работающего в однократном режиме (40 Дж, 15 нс). Система позволяет производить измерения рассеянного света на углы рассеяния 90° и 8° (рис. 1), которые обеспечивают измерения в диапазоне энергий до 20 кэВ [2].

Более того, используя измерения рассеянного света на малый градус в разных направлениях, можно измерять пространственную структуру функции распределения. Измерения производятся в точке Z=415 см от точки инъекции пучка в плазму.

Лазер состоит из генератора, двух усилителей (пяти- и однопроходного), пространственного фильтра и набора диафрагм. В фокусе диаметр луча составляет ~0.2 мм. При проведении 90° измерений свет собирается объективом

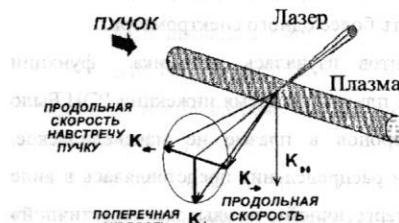


Рис.1 Схема регистрации рассеянного света

и фокусируется на торцы кварцевых световодов (диаметр световодов 1 мм). По световодам свет передается на пультовую, где располагается спектрометр и регистрирующее оборудование: лавинный фотодиод (ЛФД) с усилителем и АЦП.

При измерении света рассеянного на 8° используется другая система сбора света. Для регистрации используется четыре секторных параболических зеркала, расположенные за секторными диафрагмами, которые через промежуточные плоские зеркала фокусируют рассеянный свет на торец кварцевого световода (диаметр 1 мм). Далее свет доставляется в пультовую и регистрируется, как описано выше.

Для измерения спектра используется стигматический спектрометр, представленный на рисунке 2. Эта схема позволяет передать изображение входного световода на выход в масштабе 1:1 без потерь. Когда вместо выходного световода устанавливается коллектор световодов, то в каждый световод (канал) попадает своя длина волны, что позволяет измерить спектр рассеянного излучения. Для проведения одновременных измерений рассеянного света по разным направлениям или разными углами необходимо использовать более одного спектрометра.

В последней серии экспериментов изучалась динамика функции распределения электронной компоненты плазмы во время инжекции РЭП. Было установлено, что распределение электронов в плазме не максвелловское. Поэтому, в дальнейшей работе, функция распределения представлялась в виде суммы двух функций гаусса «низкоэнергетической» и «высокоэнергетической» компонент. Было выявлено, что существует эволюция формы функции распределения электронов со значительным разбросом от выстрела к выстрелу между «низкоэнергетической» и «высокоэнергетической» компонентами [3]. Быстрое исчезновение электронов с энергией в несколько кэВ из плазмы (рис.3) может быть объяснено высоким уровнем микротурбулентии в плазме в течение второй половины пучка с одновременным уменьшением источника накачки таких электронов. В течение этого периода мощности и/или качества пучка

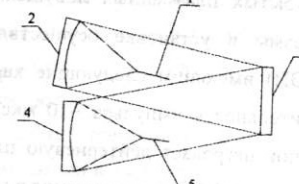


Рис.2 Схема стигматического спектрометра
1. Входной световод
2, 4.Парabolические зеркала
3. Диракционная решетка
5. Выходной световод

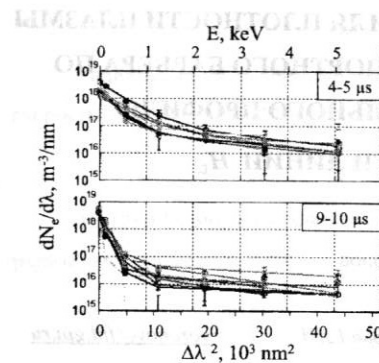


Рис.3 Спектр рассеянного под 90° излучения для 4-5 (сверху) и 9-10 мкс (снизу) после начала инъекции пучка.

Данная работа частично поддержана Фондом поддержки российской науки, РФФИ 07-08-00682, 08-01-00622, 08-02-01197, CRDF Y4-P-08-09, РНП.2.2.2.3.1003.

Литература:

1. BURDAKOV A.V., et al., "Plasma Heating and Confinement in GOL-3 Multiple Mirror Trap," Fusion Science and Technology, 51 (No. 2T), 106 (2007).
2. POPOV S.S., et al., "Measurements of the Electron Energy Spectrum by Using Small-Angle Thomson Scattering", Plasma Physics Reports, 34, 212 (2008).
3. АСТРЕЛИН В.Т., и др., "Подавление теплопроводности и генерация ионно-звуковых волн при нагреве плазмы электронным пучком", Физика плазмы, 1998, т.24, № 5, с.450-462.
4. POSTUPAEV V.V., et al., "Dynamics of Electron Distribution Function in Multiple Mirror Trap GOL-3 ", 35th EPS Conference on Plasma Phys. Hersonissos, 2008, ECA, Vol.32, P-5.098.

недостаточно для дальнейшего нагрева плазмы, но пучок все еще подходит как инструмент для поддержания высокого столкновительного уровня электронов, что обеспечивает подавление продольной теплопроводности и существенно снижает продольные потери в ловушке[4].

МНОГОКАНАЛЬНЫЙ ДИСПЕРСИОННЫЙ ИНТЕРФЕРОМЕТР ДЛЯ ИЗМЕРЕНИЯ ПЛОТНОСТИ И ПОЛОЖЕНИЯ ПЛАЗМЫ

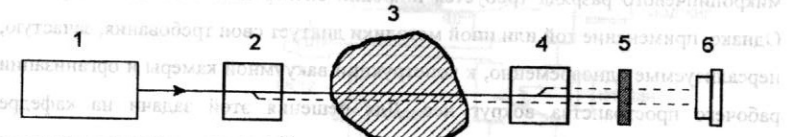
А.Л.Соломахин, П.А.Багрянский, Р.В.Воскобойников, А.А.Лизунов,
А.Н.Квашнин, Ю.В.Коваленко, А.Д.Хильченко.

Институт ядерной физики им. Г.И.Будкера СО РАН, 630090, Новосибирск,
Россия

Традиционно для интерферометрии плазмы используются интерферометры Майкельсона и Маха-Цандера, то есть системы с пространственным разделением каналов. Этим обстоятельством обусловлен главный недостаток интерферометров такого типа - высокая чувствительность к вибрациям оптических элементов. Для уменьшения влияния вибраций применяются следующие меры: 1) используются массивные виброизолирующие станины, и осуществляется звукоизоляция оптических элементов; 2) для зондирования используется излучение субмиллиметрового диапазона (118 мкм, 337 мкм); 3) используются «двуцветные» интерферометры. Все перечисленные пути преодоления влияния вибраций имеют свои недостатки.

Для измерения линейной плотности плазмы на существующих и будущих крупных термоядерных установках предлагается использовать схему дисперсионного интерферометра. Оптические каналы дисперсионного интерферометра разделены по частотам, причем излучение в коротковолновом канале формируется методом удвоения частоты зондирующего излучения. Свойства большинства нелинейных кристаллов позволяют организовать такой режим удвоения частоты, при котором излучение второй гармоники распространяется точно по тому же пути, что и излучение первой гармоники. Это обстоятельство позволяет создать интерферометр, чувствительный только к дисперсии изучаемой среды и слабо чувствительный к вибрациям оптических элементов. ДИ в простейшем случае состоит из двух оптических удвоителей частоты, между которыми помещен исследуемый объект. Зондирующее

излучение лазера 1 с частотой ω частично преобразуется в излучение второй гармоники (ВГ) в первом удвоителе частоты 2. Через исследуемый объект 3 по одному и тому же пути распространяются две электромагнитных волны с частотами ω и 2ω . Во втором удвоителе частоты 4 компонента излучения с частотой ω вновь преобразуется во ВГ. Оставшаяся часть излучения с частотой ω поглощается фильтром 5. Таким образом, сигнал, регистрируемый детектором 6, есть результат интерференции двух волн с частотой 2ω . Одна из волн генерируется в первом кристалле, а другая - во втором кристалле после прохождения плазмы.



Разработан четырехканальный двухпроходный интерферометр с длиной волны зондирующего излучения 10.6 (ω) и 5.3 (2ω) мкм для контроля плотности и положения плазмы в токамаке TEXTOR (FZ Juelich, Германия). Изготовлен один из каналов интерферометра. Продемонстрирована его работоспособность в условиях реального эксперимента на токамаке TEXTOR и открытой ловушке ГДЛ (ИЯФ СО РАН). Ведется изготовление и запуск остальных каналов интерферометра. Предполагается, что систем будет выдавать результаты измерения в реальном масштабе времени, что позволит её использовать для стабилизации и контролируемого изменения плотности и положения плазмы.